

# НАУЧНО-ТЕХНИЧЕСКИЙ РАЗДЕЛ

УДК 620.178.5:620.179

## Влияние амплитудно-зависимого демпфирования на вибродиагностические параметры наличия закрывающейся трещины в балке при субгармоническом резонансе

В. В. Матвеев, А. П. Яковлев, О. Е. Богинич

Институт проблем прочности им. Г. С. Писаренко НАН Украины, Киев, Украина

Представлены результаты приближенного расчета влияния амплитудно-зависимого демпфирования на вибродиагностические параметры наличия закрывающейся краевой трещины нормального отрыва в балках прямоугольного поперечного сечения при различных граничных условиях их закрепления и виде гармонического возбуждения субгармонического резонанса какой-либо собственной формы колебаний.

**Ключевые слова:** вибродиагностика усталостного повреждения, закрывающаяся трещина, балка, изгибные колебания, субгармонический резонанс, амплитудно- зависимое демпфирование.

**Введение.** Как отмечалось ранее [1–4], анализ взаимосвязи параметров трещины усталости и колебаний упругих тел с целью разработки эффективных методов вибродиагностики таких повреждений продолжает привлекать внимание исследователей. Весомое место в исследованиях занимает изучение спектра колебаний упругого тела с закрывающейся трещиной при супер- и субгармонических резонансах. Более детально исследуются одномассовая модель упругого тела и конструкции балочного типа. Однако известные исследования как аналитические, так и численные ограничиваются рассмотрением вынужденных колебаний упругого тела при учете только линейного вязкого трения.

В настоящем исследовании в развитие работ [3, 4] представлены результаты аналитического расчета значений вибродиагностических параметров наличия краевой закрывающейся трещины нормального отрыва в балке прямоугольного поперечного сечения (рис. 1) с различными граничными условиями и видом гармонического возбуждения субгармонического резонанса порядка 1/2 первой формы изгибных колебаний при амплитудно-зависимом демпфировании.

**Методика расчета.** Согласно результатам [3, 4] для случая настроенного субгармонического резонанса порядка 1/2  $j$ -й формы изгибных колебаний основным вибродиагностическим параметром наличия в некотором сечении балки  $x = x_t$  закрывающейся краевой трещины глубиной  $a$  является отношение максимальных амплитуд первой (резонирующей)  $A_{1jC}$  и второй  $A_{2\Sigma}$  гармоник прогиба балки в каком-либо выбранном сечении  $x_0$ :

$$\bar{A}_{1/2} = \frac{A_{1jC}}{A_{2\Sigma}} = \frac{4\alpha}{3\delta(\omega_{0j}, A_{1jC})} (1+0,6\alpha) \left\{ \theta^2(x_0) + \frac{1}{9} \left[ \frac{8(\alpha(1+0,6\alpha))^2}{9\pi\delta(\omega_{0j}, A_{1jC})} \right]^2 \right\}^{-0.5}. \quad (1)$$

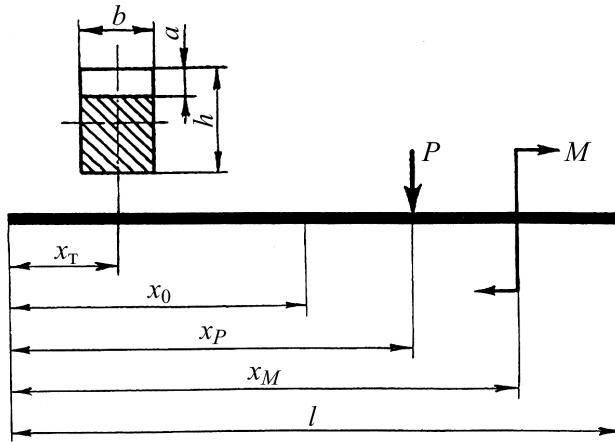


Рис. 1. Схема балки прямоугольного поперечного сечения с краевой трещиной и различным видом гармонического возбуждения изгибных колебаний.

Здесь  $\theta(x_0)$  – отношение амплитуд суммарного прогиба  $N$  учитывающих форм колебаний  $A_{2\Sigma}$  и прогиба  $A_{2j}$  по резонирующей  $j$ -й форме колебаний балки, рассматриваемой с определенным приближением как неповрежденная, в сечении  $x_0$  при частоте возбуждения  $\nu = 2\omega_j$ :

$$\theta(x_0) = \frac{A_{2\Sigma}}{A_{2j}} \equiv \frac{1}{y_j(x_0)} \sum_{i=1}^N y_i(x_0), \quad (2)$$

где  $y_i(x)$  – амплитудная функция линии прогибов цельной балки при ее вынужденных колебаниях по  $i$ -й собственной форме.

Параметр нелинейности  $\alpha$ , равный относительному изменению при открытии трещины изгибной жесткости балки при ее деформировании по резонирующей форме в составе остальных возбуждаемых форм колебаний, выражается через энергетическую характеристику повреждения  $\kappa$ :

$$\alpha = \frac{\kappa}{1+\kappa}. \quad (3)$$

Характеристика  $\kappa$  вычисляется на основе данных о коэффициенте интенсивности нормальных напряжений и расчета методом главных координат вынужденных колебаний неповрежденной балки при  $\nu = 2\omega_j$  по формуле

$$\kappa = 6\pi h \frac{B(x_T)H_1(\gamma)}{\int_0^l \left( \frac{d^2 y_j}{dx^2} \right)^2 dx}, \quad (4)$$

где

$$B(x_T) = \left( \frac{d^2 y_j}{dx^2} \right)_{x=x_T} \left[ \sum_{i=1}^N \left( \frac{d^2 y_i}{dx^2} \right)_{x=x_T} \right]; \quad (5)$$

$$H_1(\gamma) = 0,078\lambda^2[(1-\gamma)^{-2} + 0,5(1-\gamma)^4 - 1,5]; \quad (6)$$

$\lambda = 1,15 - 60\gamma^2$  при  $0 < \gamma < 0,05$  и  $\lambda = 1$  при  $\gamma > 0,05$ ;  $h$  – высота поперечного сечения;  $l$  – длина балки;  $\gamma$  – относительная глубина трещины,  $\gamma = a/h$ .

Логарифмический декремент колебаний  $\delta(\omega_{0j}, A_{1jC})$ , входящий в формулу (1), является функцией максимальной амплитуды первой гармоники прогиба  $j$ -й резонирующей формы колебаний поврежденной балки  $A_{1jC}$  в сечении  $x_0$  и соответствующей ей собственной частоты

$$\omega_{0j} = \frac{2\sqrt{1-\alpha_j}}{1+\sqrt{1-\alpha_j}} \omega_j \approx \sqrt{1-0,5\alpha_j} \omega_j, \quad (7)$$

где  $\alpha_j$  – параметр нелинейности балки с закрывающейся трещиной при ее деформировании по одной  $j$ -й резонирующей форме колебаний, определяемый с использованием формул (3), (4) при  $B(x_T) = B_j(x_T) = (d^2 y_j / dx^2)_{x=x_T}^2$ ;  $\omega_j$  –  $j$ -я собственная частота колебаний неповрежденной балки.

Выражения для логарифмического декремента колебаний балки  $\delta(\omega_{0j}, A_{1jC})$ , привязанные к максимальной амплитуде первой гармоники прогиба по резонирующей форме  $A_{1jC}$ , приведены в таблице для разных видов неупругого сопротивления. Характерную для этих видов неупругого сопротивления амплитудную зависимость декремента удобно представить единой зависимостью, соответствующей эллиптической петле гистерезиса

$$\delta = k_n A_{1jC}^{n-1} \quad (8)$$

при условии

$$k_n = 4h_n \omega_0^{n-2} \phi(n) = \frac{2^{n+1} (n-1)\eta_n}{n(n+1)}. \quad (9)$$

Как видно из (1) и (3), при известной зависимости декремента от амплитуды и частоты колебаний основная задача заключается в определении характеристики повреждения (4).

### Логарифмический декремент колебаний

Вид неупругого сопротивления	$\delta(\omega_{0j}, A_{1jC})$
Вязкое, пропорциональное $n$ -й степени скорости	$4h_n \omega_0^{n-2} A_{1jC}^{n-1} \phi(n)$
Эллиптическая петля гистерезиса	$k_n A_{1jC}^{n-1}$
Петля гистерезиса Давиденкова ( $n > 1$ )	$\frac{2^{n+1} (n-1)\eta}{n(n+1)} A_{1jC}^{n-1}$

**Примечание.**  $h_n$ ,  $k_n$ ,  $\eta$  – постоянные;  $\phi(n) = 2 \int_0^{\pi/2} \cos^{n+1} \varphi d\varphi$ .

Для амплитудной функции линии прогибов  $y_i(x)$ , соответствующей  $i$ -й форме вынужденных колебаний цельной балки, имеем следующие зависимости для разных случаев гармонического возбуждения при частоте субрезонанса порядка  $1/2$   $j$ -й собственной формы колебаний ( $\nu = 2\omega_j$ ).

1. Сосредоточенная сила  $P = P_0 \sin 2\omega_j t$ , приложенная в сечении  $x_P$ :

$$y_i(x_P, x) = \frac{P_0 l^4}{EI(k_j l)^4} X'_i(k_i x_P) X_i(k_i x) \beta_i.$$

2. Сосредоточенный момент  $M = M_0 \sin 2\omega_j t$ , приложенный в сечении  $x_M$ :

$$y_i(x_M, x) = \frac{M_0 l^4}{EI(k_j l)^4} X'_i(k_i x_M) X_i(k_i x) \beta_i.$$

3. Перемещение заделки ( $x = 0$ )  $D = D_0 \sin 2\omega_j t$ :

$$y_i(x) = \frac{D_0 m v^2 l^4}{EI(k_j l)^4} X_i(k_i x) \int_0^t X_i(k_i x) dx \beta_i,$$

где  $\beta_i = \left[ \left( \frac{k_i l}{k_j l} \right)^4 - 4 \right]^{-1}$ ;  $X_i(k_i x)$  –  $i$ -я нормированная собственная форма изгибных колебаний (балочная функция) неповрежденной балки, соответствующая условию  $\int_0^l X_i^2 dx = 1$ ;  $k_i l$  –  $i$ -й корень частотного уравнения;  $m$  – масса единицы длины балки;  $EI$  – изгибная жесткость поперечного сечения.

При учете только одной  $j$ -й резонирующей формы колебаний в соответствии с приведенными выражениями для линии прогибов получим независящую от способа возбуждения единую формулу для определения характеристики  $\kappa_j$ :

$$\kappa_j = 6\pi h \frac{[X''_j(x_T)]^2}{k_j^4} H_1(\gamma). \quad (10)$$

**Результаты расчета.** Рассмотрим случай субгармонического резонанса более легко возбуждаемой первой собственной формы изгибных колебаний балки ( $j = 1$ ) при ее размерах  $b = 4 \cdot 10^{-2}$  м;  $h = 5 \cdot 10^{-2}$  м;  $l = 0,6$  м, модуле упругости материала  $E = 2 \cdot 10^5$  МПа и наличии краевой трещины относительной глубины  $\gamma = 0,2$ . Для других значений  $\gamma$  характеристика повреждения  $\kappa$  и вибродиагностический параметр  $\bar{A}_{1/2}$  вычисляются из следующих соотношений:

$$\kappa(\gamma) = \kappa(0,2) \frac{H_1(\gamma)}{H_1(0,2)}; \quad \bar{A}_{1/2}(\gamma) \approx \bar{A}_{1/2}(0,2) \frac{H_1(\gamma)}{H_1(0,2)}. \quad (11)$$

В расчетах были использованы три вида крепления балки: свободно опертая, консольная и с защемленными концами при учете восьми-девяти собственных форм колебаний.

Вначале определим характеристику повреждения  $\kappa$  и соответственно параметр  $\alpha = \kappa/(1+\kappa)$ . Как пример, для консоли на рис. 2 приведена зависимость  $\kappa$  и  $\alpha$  от относительной глубины трещины  $\gamma$  при  $x_T = 0,1l$  и  $0,25l$  для случая возбуждения колебаний сосредоточенной силой, приложенной в сечении  $x_P = l$ , и регистрации

перемещения в сечении  $x_0 = l$ , на рис. 3 – зависимость  $\kappa$  от места приложения сосредоточенных силы  $P$  и момента  $M$  при расположении трещины, имеющей относительную глубину  $\gamma = 0,2$ , в сечениях  $x_t = 0,1l$  и  $0,25l$ .

Для всех видов неупругого сопротивления характерна существенная зависимость вибродиагностического параметра (1) от показателя степени  $n$  амплитудной зависимости декремента колебаний, поскольку частота является постоянной и определяется собственной частотой резонирующей, в данном случае первой, формы колебаний балки ( $\omega_{01}$ ).

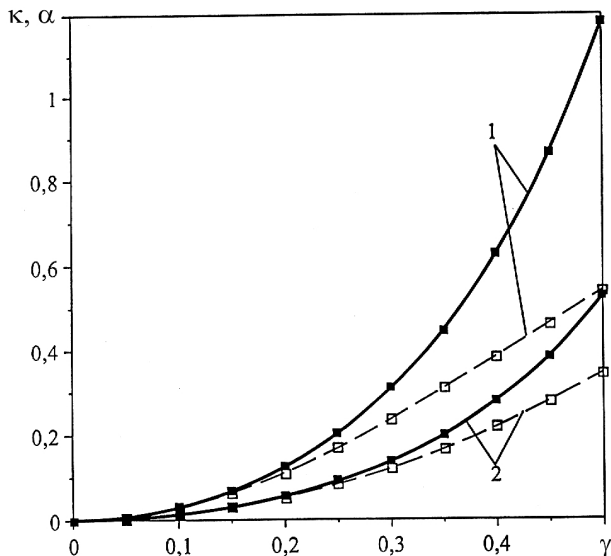


Рис. 2. Зависимость  $\kappa$  (сплошные линии) и  $\alpha$  (штриховые линии) от относительной глубины трещины  $\gamma$  в консольной балке для случая возбуждения колебаний сосредоточенной силой, приложенной в сечении  $x_P = l$ , и регистрации перемещения в сечении  $x_0 = l$ : 1 –  $x_t = 0,1l$ ; 2 –  $x_t = 0,25l$ .

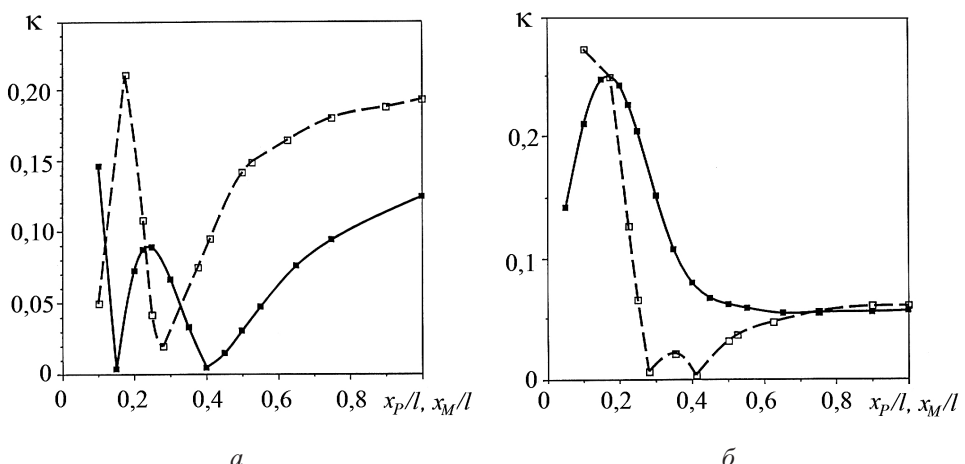


Рис. 3. Зависимость  $\kappa$  от места приложения вынуждающих гармонических сосредоточенных силы  $P$  (сплошные линии) и момента  $M$  (штриховые линии) для консольной балки при расположении трещины, имеющей относительную глубину  $\gamma = 0,2$ , в сечениях  $x_t = 0,1l$  (а) и  $0,25l$  (б).

При известной величине  $\alpha$  вибродиагностический параметр (1) будет определяться постоянными  $k_n$ ,  $n$  ( $n > 1$ ) амплитудной зависимости декремента (8). Поскольку из (1) связь относительной амплитуды  $\bar{A}_{1/2}$  с  $k_n$  и  $n$  в явном виде не просматривается, исследуем вначале зависимость от их величины абсолютного значения резонансной амплитуды первой гармоники  $A_{11C}$ , выражение для которой при  $q = 3\omega_0^2 A_{2B1}$  согласно [3] можно представить в виде

$$A_{11C} = \sqrt[n]{\frac{4\alpha(1+0,6\alpha)}{3k_n}} A_{2B1}, \quad (12)$$

где  $A_{2B1}$  – амплитуда второй гармоники, т.е. основных вынужденных колебаний по первой, резонирующей собственной форме балки с закрывающейся трещиной, которую примем равной амплитуде вынужденных колебаний по этой форме цельной балки при  $\nu = 2\omega_1$ , т.е.  $A_{2B1} = y_1(x_P, x_0)$ .

Рассмотрим зависимость  $A_{11C}$  от  $k_n$  и  $n$  на примере консольной балки при возбуждении колебаний сосредоточенной силой  $P_{0C}$ , приложенной в сечении  $x_P = l$ . В этом случае амплитуда прогиба балки  $A_{2B1}$  при ее регистрации в сечении  $x_0 = l$  будет

$$A_{2B1} = y_1(x_P = l; x_0 = l) = \frac{P_{0C}l^4}{3EI} \frac{X_1^2(l)}{(k_1 l)^4} \approx 1,2945 \left(\frac{l}{h}\right)^3 \frac{P_{0C}}{bE},$$

и формула (12) примет вид

$$A_{11C} = \sqrt[n]{1,726 \frac{\alpha}{k_n} (1+0,6\alpha) \frac{P_{0C}}{bE} \left(\frac{l}{h}\right)^3}. \quad (13)$$

На рис. 4 приведена зависимость  $A_{11C}$  от параметра  $\alpha$  и относительной глубины трещины  $\gamma$ , расположенной в сечениях  $x_T = 0,1l$  и  $0,25l$  при разных показателях степени  $n$ , для случая  $P_{0C} = 334$  Н и  $k_n = 8 m^{1-n}$ , на рис. 5 – зависимость декремента колебаний  $\delta$  от  $A_{11C}$ . Амплитуды прогиба балки во всех случаях определялись при  $x_0 = l$ .

Наблюдаемая картина существенного влияния  $n$  на резонансную амплитуду  $A_{11C}$  согласуется со значительным уменьшением декремента колебаний с увеличением  $n$  при заданной величине  $k_n$ .

В качестве безразмерного вибродиагностического параметра можно использовать отношение амплитуды  $A_{11C}$  (12) к максимальной амплитуде  $A_{110}$  при основном резонансе исследуемой – первой собственной формы колебаний ( $\nu = \omega_{01}$ ), равной

$$A_{110} = \sqrt[n]{\frac{\pi P_{01}l^4}{EI} \frac{X_1(x_P)X_1(x_0)}{(k_1 l)^4 k_n}},$$

т.е.

$$\bar{A}_{11C} = \frac{A_{11C}}{A_{110}} = \sqrt[n]{\frac{4\alpha(1+0,6\alpha)}{9\pi} \frac{P_{0C}}{P_{01}}}. \quad (14)$$

Как видно, на значение параметра  $\bar{A}_{11C}$  величина коэффициента  $k_n$  не оказывает влияния. Общая зависимость  $\bar{A}_{11C}$  от параметра  $\alpha$  при разных значениях

показателя степени  $n$  и отношения амплитуд вынуждающих сил при субгармоническом ( $P_{0C}$ ) и основном ( $P_{01}$ ) резонансах представлена на рис. 6, на рис. 7 – зависимость  $\bar{A}_{11C}$  от места приложения вынуждающей силы ( $P_{01}$ ) при  $P_{0C}/P_{01} = 30$  и разных значениях показателя степени  $n$  для консольной балки с трещиной относительной глубины  $\gamma = 0,2$ , расположенной в сечении  $x_t = 0,1l$ .

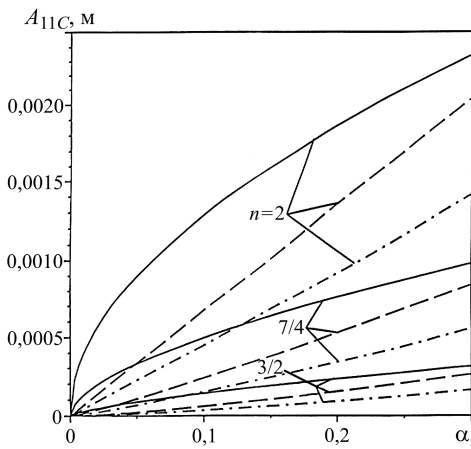


Рис. 4

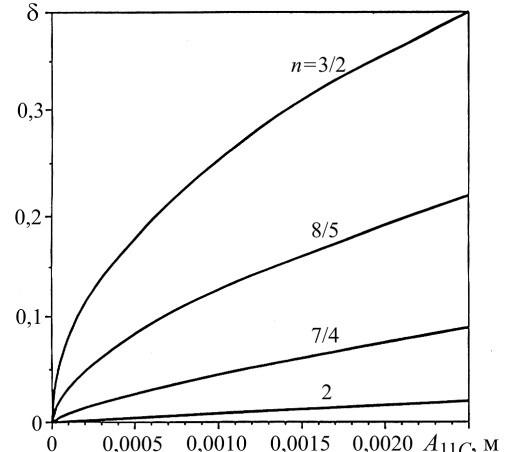


Рис. 5

Рис. 4. Зависимость параметра  $A_{11C}$  от  $\alpha$  (сплошные линии) и относительной глубины трещины  $\gamma$ , расположенной в сечениях  $x_t = 0,1l$  (штриховые линии) и  $x_t = 0,25l$  (штрих-пунктирные линии) при разных показателях степени  $n$  для консольной балки при возбуждении колебаний сосредоточенной силой, приложенной на ее конце.

Рис. 5. Зависимость логарифмического декремента колебаний  $\delta$  (8) от амплитуды колебаний  $A_{11C}$  при разных показателях степени  $n$ .

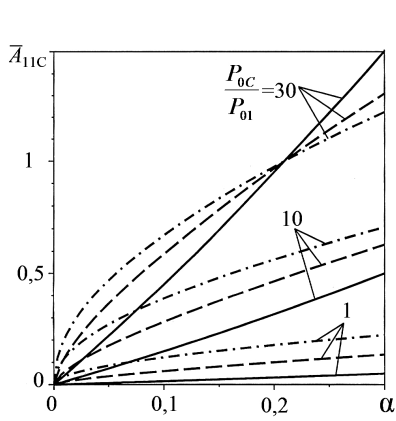


Рис. 6

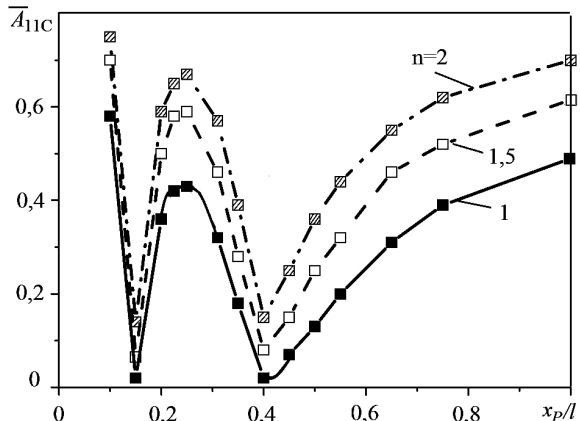


Рис. 7

Рис. 6. Зависимость параметра  $\bar{A}_{11C}$  от  $\alpha$  при разных отношениях амплитуд вынуждающих сил  $P_{0C}$  и  $P_{01}$  и значениях показателя степени  $n$ : сплошные линии –  $n = 1$ ; штриховые линии –  $n = 1,5$ ; штрихпунктирные линии –  $n = 2$ .

Рис. 7. Зависимость параметра  $\bar{A}_{11C}$  от места приложения вынуждающей силы для консольной балки с трещиной, расположенной в сечении  $x_t = 0,1l$ , при  $P_{0C}/P_{01} = 30$  и разных значениях показателя степени  $n$ .

Учитывая, что на практике системы с разными показателями степени  $n$  обычно имеют также разные значения  $k_n$ , представляется логичным оценить влияние характера амплитудной зависимости декремента колебаний, например, при условии равенства на каком-либо уровне возбуждающей нагрузки  $Q_{01}$  максимальной амплитуды  $A_{110}$  при основном резонансе ( $\nu = \omega_{01}$ ) таковой в случае линейного вязкого трения ( $n = 1$ ) с декрементом колебаний  $\delta_1 = 2\pi h_1 / \omega_{01}$ . Это условие определяет следующее значение постоянной неупругого сопротивления  $k_n$  и декремента колебаний  $\delta$ :

$$k_n = \frac{2\pi h_1}{\omega_{01} A_{110}^{n-1}} = \frac{\delta_1}{A_{110}^{n-1}}; \quad \delta(\omega_{01}, A_{11C}) = k_n A_{11C}^{n-1} = \delta_1 \left( \frac{A_{11C}}{A_{110}} \right)^{n-1}, \quad (15)$$

где  $A_{110}$  и  $A_{11C}$  – амплитуды первой гармоники рассматриваемой собственной формы колебаний балки при основном и субгармоническом резонансах, отношение которых, независимо от граничных условий балки и вида возбуждения колебаний, будет определяться выражением, аналогичным (14). Тогда с учетом различия в уровне возбуждающей нагрузки при этих резонансах, определяемого коэффициентом  $\lambda = Q_{01}/Q_{0C}$ , найдем

$$\delta(\omega_{01}, A_{11C}) = \delta_1 \left( \frac{4\alpha(1+0,6\alpha)}{9\pi\lambda} \right)^{n-1/n}. \quad (16)$$

В этом случае зависимость (1) для определения вибродиагностического параметра принимает следующий вид:

$$\bar{A}_{1/2} = \frac{3\frac{\pi}{\delta_1} \left[ \frac{4\alpha(1+0,6\alpha)}{9\pi} \right]^{1/n} \lambda^{n-1/n}}{\sqrt{\theta^2(x_0) + \left[ \frac{3\pi}{2\delta_1} \left( \frac{4\alpha(1+0,6\alpha)}{9\pi} \right)^{n+1/n} \lambda^{n-1/n} \right]^2}}. \quad (17)$$

Вибродиагностический параметр, выраженный через отношение амплитуд ускорений (обозначим индексом  $a$ ), которые обычно фиксируют при испытаниях, при рассматриваемом субгармоническом резонансе будет  $\bar{A}_{1/2}^a = A_{11C}^a / A_{2\Sigma}^a = \frac{1}{4} \bar{A}_{1/2}$ .

При возбуждении супергармонического резонанса с выбранным уровнем вынуждающей нагрузки  $Q_{1C}$  коэффициент  $\lambda$  определяет уровень такой нагрузки при основном резонансе  $Q_{01} = \lambda Q_{1C}$ , который обуславливает одинаковый задаваемый уровень амплитуды колебаний  $A_{110}$  независимо от характера сопротивления, т.е. показателя степени  $n$ . Например, при использовании сосредоточенной вынуждающей силы  $P_{01}$  имеем

$$A_{110} = \frac{\pi P_{01} l^4}{EI\delta_1(k_1 l)^4} X_1(x_P) X_1(x_0).$$

Расчетные зависимости вибродиагностического параметра  $\bar{A}_{1/2}$  от интегрального параметра нелинейности колебательной системы  $\alpha$  при  $\lambda = 1$  и разных значениях  $\delta_1$  и  $n$  представлены на рис. 8. Как и для абсолютного значения амплитуды резонирующей гармоники  $A_{11C}$ , также наблюдается существенный рост ее относительной величины с увеличением показателя степени  $n$  во всем диапазоне значений параметра  $\alpha$ .

На рис. 9 для различных случаев возбуждения колебаний рассматриваемой консоли приведены зависимости выбродиагностического параметра  $\bar{A}_{1/2}^a$  наличия закрывающейся трещины, расположенной в сечении  $x_t = 0,1l$ , от ее относительной глубины  $\gamma$  при разных значениях  $n$  и  $\delta_1 = 0,01$ , на рис. 10–13 для балок с различными условиями закрепления – зависимости параметра  $\bar{A}_{1/2}^a$  от места приложения  $x_P$  возбуждающей силы  $P$  или момента  $M$  при характерном местоположении трещины, имеющей относительную глубину  $\gamma = 0,2$ , и разных значениях  $n$  при  $\delta_1 = 0,01$ . Зависимости при  $n = 1$  соответствуют результатам ранее [4] проведенного расчета в случае линейного вязкого трения, для которого было показано удовлетворительное согласование расчетных зависимостей с данными численных решений, полученных с использованием разных конечноэлементных моделей балки.

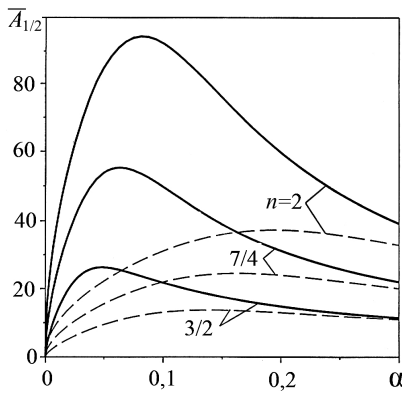


Рис. 8

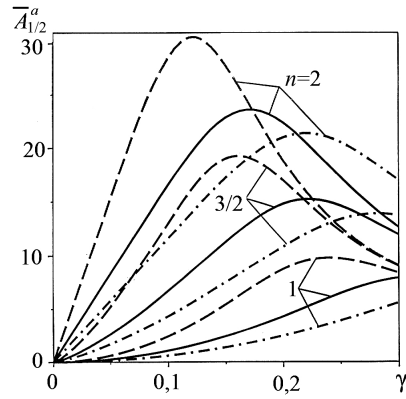


Рис. 9

Рис. 8. Зависимость параметра  $\bar{A}_{1/2}$  от интегрального параметра нелинейности колебательной системы  $\alpha$  при разных значениях  $n$  и  $\delta_1$ : сплошные линии –  $\delta_1 = 0,01$ ; штриховые линии –  $\delta_1 = 0,04$ .

Рис. 9. Зависимость параметра  $\bar{A}_{1/2}^a$  от относительной глубины трещины  $\gamma$ , расположенной в сечении  $x_t = 0,1l$ , для случаев возбуждения колебаний сосредоточенной силой (сплошные линии), сосредоточенным моментом (штриховые линии), приложенными в сечении  $x = l$ , и кинематическим (штрихпунктирные линии) при разных значениях показателя степени  $n$ .

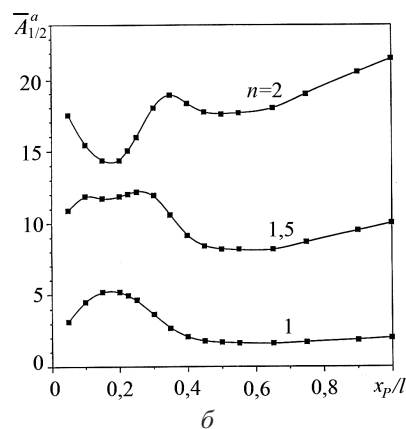
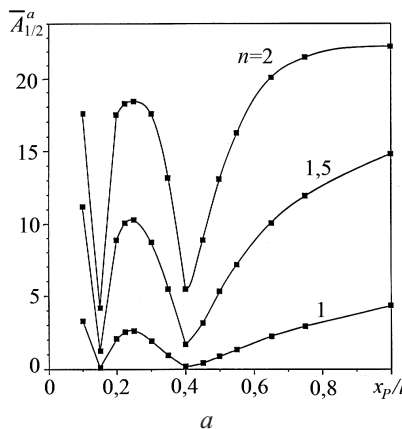


Рис. 10. Зависимость параметра  $\bar{A}_{1/2}^a$  от места приложения вынуждающей силы при разных значениях показателя степени  $n$  для консольной балки с трещиной, расположенной в сечении  $x_t = 0,1l$  ( $a$ ) и  $0,25l$  ( $\delta$ ).

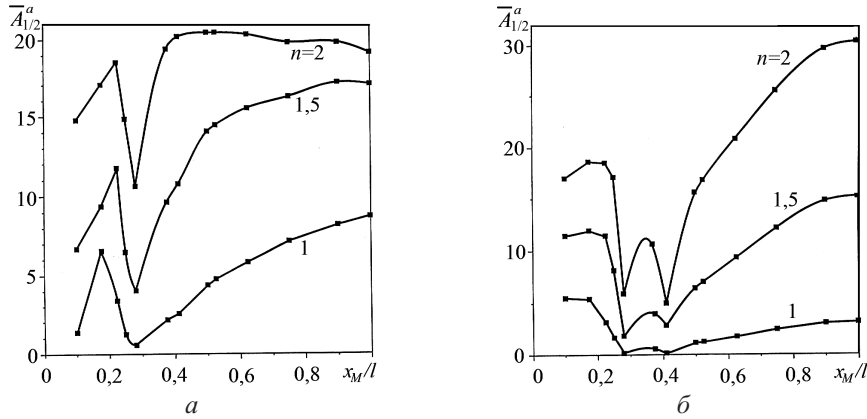


Рис. 11. Зависимость параметра  $\bar{A}_{1/2}^a$  от места приложения вынуждающего сосредоточенного момента при разных значениях показателя степени  $n$  для консольной балки с трещиной, расположенной в сечении  $x_t = 0,1l$  (а) и  $0,25l$  (б).

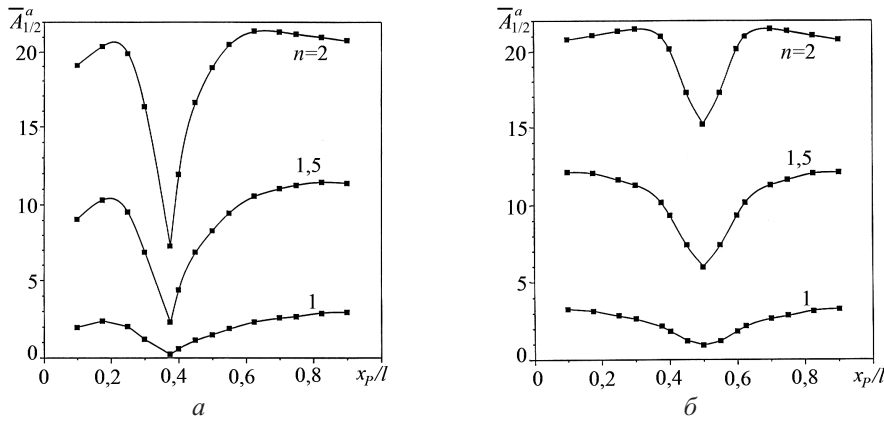


Рис. 12. Зависимость параметра  $\bar{A}_{1/2}^a$  от места приложения вынуждающей силы при разных значениях показателя степени  $n$  для двухопорной балки с трещиной, расположенной в сечении  $x_t = 0,25l$  (а) и  $0,5l$  (б).

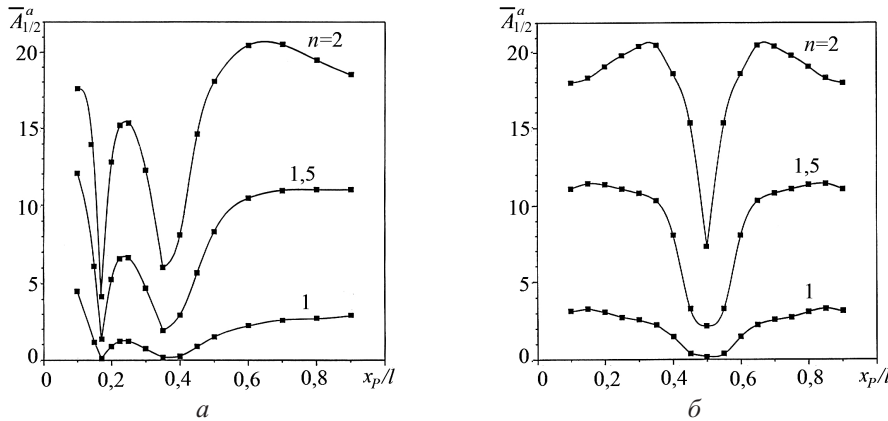


Рис. 13. Зависимость параметра  $\bar{A}_{1/2}^a$  от места приложения вынуждающей силы при разных значениях показателя степени  $n$  для защемленной с двух сторон балки с трещиной, расположенной в сечении  $x_t = 0,1l$  (а) и  $0,5l$  (б).

Как видно, с увеличением показателя степени  $n$  амплитудной зависимости логарифмического декремента колебаний балок наряду с ростом значений вибродиагностического параметра возможно и некоторое изменение характера его зависимости как от относительной глубины трещины, так и места приложения возбуждающей силы.

**Заключение.** Ограничиваюсь исследованием вынужденных колебаний неповрежденных балок, рассмотрен простой приближенный метод аналитического определения вибродиагностических параметров наличия закрывающейся краевой трещины нормального отрыва в балках прямоугольного поперечного сечения с различным видом неупругого сопротивления при субгармоническом резонансе интересующей собственной формы их изгибных колебаний. Показана существенная зависимость значения вибродиагностических параметров от показателя степени амплитудной зависимости логарифмического декремента колебаний системы.

### **Р е з ю м е**

Представлено результаты приближенного разработанного влияния амплитудно-затухающего демпфирования на вибродиагностические параметры наличия трещины нормального отрыва, что закрывается, в балках прямокутного поперечного сечения за различных граничных условий их закрепления и виду гармонического звукования субгармонического резонансу потребной власної форми коливань.

1. Матвеев В. В., Богинич О. Е., Яковлев А. П. Метод приближенного аналитического определения вибродиагностического параметра наличия трещины в упругой системе с распределенными параметрами при супер- и субгармоническом резонансах // Пробл. прочности. – 2010. – № 5. – С. 62 – 83.
2. Матвеев В. В., Богинич О. Е. К вопросу приближенного определения вибродиагностического параметра нелинейности упругого тела, обусловленной наличием дышащей трещины, при субгармоническом резонансе // Там же. – 2012. – № 3. – С. 37 – 49.
3. Матвеев В. В., Богинич О. Е. Влияние неупругого сопротивления на колебания упругого тела с закрывающейся трещиной при основном и субгармоническом резонансах // Там же. – 2014. – № 1. – С. 5 – 24.
4. Матвеев В. В., Яковлев А. П., Богинич О. Е., Синенко Е. А. Приближенное аналитическое определение вибродиагностических параметров наличия закрывающейся трещины в стержневых элементах при субгармоническом резонансе // Там же. – 2014. – № 3. – С. 21 – 37.

Поступила 22. 09. 2014